

ОЦЕНКА ЗАДЕРЖКИ РАДИОЛОКАЦИОННОГО СИГНАЛА, НЕЗАВИСИМАЯ ОТ ДОПЛЕРОВСКОГО СМЕЩЕНИЯ ЕГО СПЕКТРА

Латышев В.В.

Московский государственный авиационный институт
125871, Россия, Москва, ГСП, Волоколамское шоссе, 4, каф.ТОР
Тел. (095)158-68-39, e-mail: lvv@mai.ru

Оценка векторных параметров сигналов обычно является серьезной проблемой. Использование байесовских оценок и решающих правил сопряжено с большим объемом вычислений и трудно реализуемо, если принятие решений должно проводиться в условиях жесткого дефицита времени. Для уменьшения трудоемкости подобных задач в [1] рекомендуется использовать инвариантные статистики, но одновременно отмечается, что «к сожалению, общие методы отыскания инвариантных или приближенно инвариантных статистик не разработаны, а существование строго инвариантных статистик – довольно редкое явление». Таким образом, в теории статистических решений отмечен пробел, заполнение которого позволило бы упростить решение и обеспечить практическую реализацию многих сложных задач, в том числе и рассматриваемой.

В основу представленной здесь попытки решения поставленной задачи положена идея устранения фишеровской информации из наблюдаемых данных о мешающем параметре и сохранение информации об оцениваемом. Последнее является условием обеспечения высокой точности оценивания.

Пусть N -мерный вектор – столбец данных $\mathbf{x} = \mathbf{s}(\alpha) + \mathbf{v}$ является смесью детерминированной составляющей $\mathbf{s}(\alpha)$ и вектора искажений \mathbf{v} . Вектор искажений подчиняется N – мерному нормальному закону распределения вероятностей с нулевым средним и корреляционной матрицей \mathbf{R}_v . В [2] предложено ортогональное разложение, обеспечиваемое линейным преобразованием $\mathbf{y} = \mathbf{C}\mathbf{x}$ с помощью $N \times N$ – матрицы \mathbf{C} столбцы которой являются собственными векторами так называемой фишеровской информационной матрицы $\mathbf{S} = E\{\mathbf{d}\mathbf{d}^H\}$, где $\mathbf{d} = \partial \ln p(\mathbf{x}; \alpha) / \partial \alpha$, E – символ математического ожидания. Особенность такого разложения состоит в том, что, во-первых, диагонализуется фишеровская информационная матрица, во-вторых, обеспечивается концентрация фишеровской информации о параметре α в начальных координатах вектора \mathbf{y} .

Для радиолокационного сигнала, зависящего от двух параметров - задержки τ и доплеровского смещения F , можно получить два аналогичных преобразования с помощью матриц \mathbf{C}_τ и \mathbf{C}_F , составленных соответственно из собственных векторов матриц $\mathbf{S}_\tau = E\{\mathbf{d}_\tau \mathbf{d}_\tau^H\}$ и $\mathbf{S}_F = E\{\mathbf{d}_F \mathbf{d}_F^H\}$. Нижний индекс показывает, по какому параметру проводится дифференцирование, H – символ транспонирования с одновременным комплексным сопряжением. Для получения независимой от F оценки задержки, необходимо из наблюдаемых данных исключить фишеровскую информацию о доплеровском смещении. Для этого используется описанная в [5] процедура одновременной диагонализации матриц \mathbf{S}_τ и \mathbf{S}_F .

Введем вспомогательную матрицу $\mathbf{Q} = \mathbf{S}_\tau + \mathbf{S}_F$. Выберем такое линейное преобразование с помощью матрицы \mathbf{C} , которое обеспечит одновременную диагонализацию \mathbf{Q} и \mathbf{S}_τ со следующими требованиями:

$$\mathbf{C}\mathbf{Q}\mathbf{C}^T = \mathbf{I}, \quad \mathbf{C}\mathbf{S}_\tau\mathbf{C}^T = \Lambda^{(\tau)}, \quad (1)$$

где \mathbf{I} – единичная диагональная матрица, а $\Lambda^{(\tau)}$ – диагональная матрица с упорядоченными элементами $\lambda_1^{(\tau)} \geq \lambda_2^{(\tau)} \geq \dots \geq \lambda_N^{(\tau)}$, являющимися собственными значениями матрицы \mathbf{S}_τ . Если подставить определение матрицы \mathbf{Q} в первое из этих равенств, получим:

$$\mathbf{I} = \mathbf{C}(\mathbf{S}_\tau + \mathbf{S}_F)\mathbf{C}^T = \Lambda^{(\tau)} + \mathbf{C}\mathbf{S}_F\mathbf{C}^T, \quad \text{или} \quad \mathbf{C}\mathbf{S}_F\mathbf{C}^T = \mathbf{I} - \Lambda^{(\tau)}. \quad (2)$$

Отсюда следует, что при выполнении указанных требований, наряду с диагонализацией \mathbf{S}_τ , диагонализуется и матрица \mathbf{S}_F . Кроме того, для собственных значений обеих матриц справедливо

соотношение $\lambda_k^{(F)} = 1 - \lambda_k^{(\tau)}$. Из него можно получить критерий разделения сигнального пространства на подпространства, содержащие фишеровскую информацию о различных составляющих вектора параметров.

В качестве иллюстрации использован ЛЧМ-сигнал:

$$u(t) = w(t) E \cos(\omega_0 t + 2\pi\beta t^2), \quad (3)$$

где весовая функция $w(t)$ характеризует форму огибающей, параметр β - величину изменения частоты. Эффект Доплера и задержка сигнала учитывается введением соответствующих параметров F и τ :

$$u(t) = w(t) E \cos((\omega_0 - 2\pi F)(t - \tau) + 2\pi\beta(t - \tau))$$

В нормированном безразмерном времени сигнал определен на отрезке $[-0,5; 0,5]$, $\beta = 16$. При этом база сигнала равна 16. Весовая функция выбрана близкой к прямоугольной, но без δ -функций на краях при дифференцировании - края весовой функции формировались отрезками синусоиды.

Функция неопределенности сигнала рассматривалась согласно [3] в виде, выраженном через комплексную огибающую:

$$\Psi(\tau, F) = \int_{-\infty}^{\infty} U(t) U^*(t + \tau) e^{-j2\pi Ft} dt.$$

Графическое изображение нормированной функции неопределенности в координатах время-частота показано на рис.1а. Левая ось соответствует запаздыванию τ , правая - доплеровской частоте F . Диапазон изменения нормированных доплеровских частот от -3 до 3 . Размерность сигнала $N=64$. Видно, что гребень функции неопределенности слегка повернут относительно оси частот, следовательно, при изменениях F максимальное значение выходного сигнала согласованного фильтра может смещаться на несколько дискрет дальности.

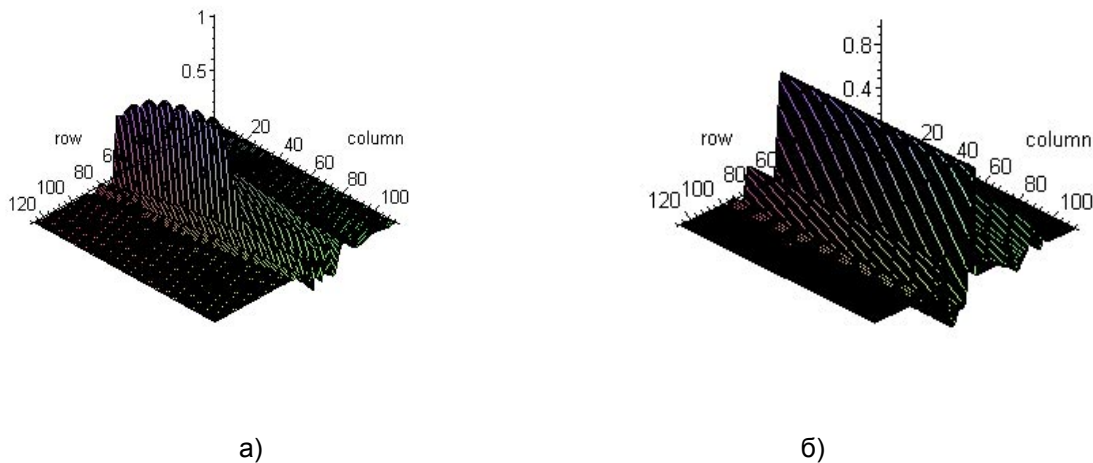
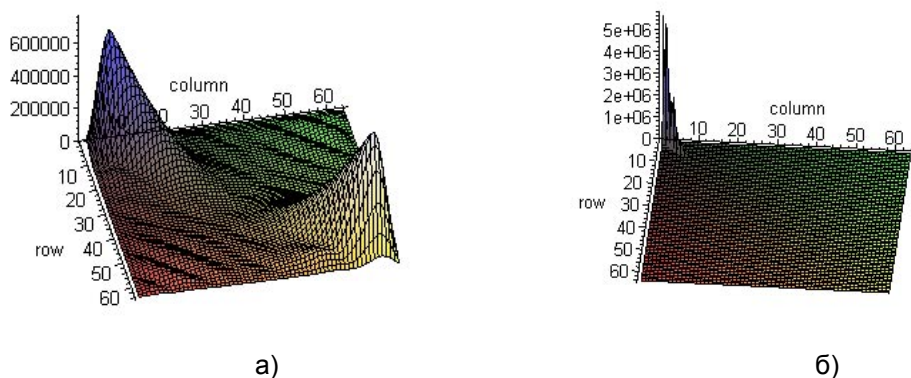
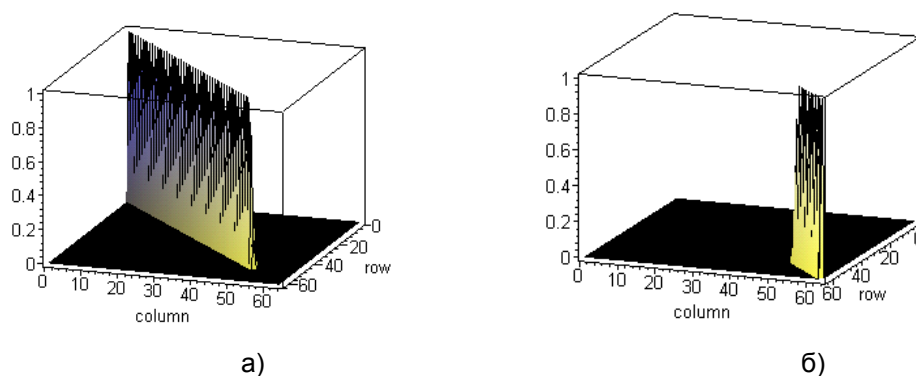


Рис.1. Функции неопределенности ЛЧМ-сигнала

Фишеровская информационная матрица S_τ в предположении равномерного распределения F в виде поверхности в трехмерном пространстве представлена на рис.2.а. Размерность матрицы 64×64 . Изображение на рис.2.а иллюстрирует, как фишеровская информация о запаздывании сигнала распределена («размазана») по элементам матрицы. На рис.2.б показана та же матрица после диагонализации. Видно, что вся фишеровская информация сконцентрирована в начальном участке диагонали преобразованной матрицы.

Аналогичным образом выглядят и изображения матрицы S_F . После использования указанной выше процедуры одновременной диагонализации изображения матриц S_τ и S_F показаны на рис.3.а и рис.3.б, соответственно. Видно, что вся фишеровская информация как о τ , так и о F сконцентрирована вдоль одной диагонали. Кроме того, при нормировке к единичному значению видно, на каких элементах количество информации о τ преобладает над количеством информации о F . Анализ этого рисунка позволяет выбрать подпространство с существенным объемом информации о F и исключить из сигнала проекцию на него.

Рис.2. Графическое изображение исходной матрицы S_τ (а) и после диагонализации (б)Рис.3. Результат одновременной диагонализации матриц S_τ и S_F

Эффект от такой процедуры иллюстрирует рис.1б. с изображением функции неопределенности сигнала после удаления его компонентов, несущих фишеровскую информацию о доплеровском смещении спектра. Сравнение с рис.1а позволяет сделать вывод, что после подавления фишеровской информации о F влияние последнего на функцию неопределенности практически исчезло. Центральный гребень функции неопределенности полностью расположен в строке, соответствующей нулевому значению F , тогда как для исходного сигнала он располагался под углом $\approx 84^\circ$ к оси F . Кроме того, теперь он имеет постоянный уровень. Таким образом, представленный здесь метод формирования инвариантной статистики, позволяет осуществить независимую от F оценку времени прихода ЛЧМ-сигнала.

Литература

1. Репин В.Г., Тартаковский Г.П. Статистический синтез при априорной неопределенности и адаптация информационных систем. – М.: Советское радио, 1977.
2. Латышев В.В. Сокращение размерности в задачах оценивания параметров.// Радиотехника и электроника, 1988, т.33, №9, с.635-637.
3. Фукунага К. Введение в статистическую теорию распознавания образов – М.: Наука, 1979.
4. Справочник по радиолокации. Ред. М. Сколник. – М.: Советское радио, 1976.

RADAR SIGNAL DELAY ESTIMATION INDEPENDENT OF DOPPLER SHIFT

Latyshev V.

Moscow state aviation institute
125871, Russia, Moscow, Volokolamskoe shosse, 4.
Tel. (095) 158-68-39, e-mail: lvv@mai.ru

Let $\mathbf{x} \in C^N$ denote available data column vector $\mathbf{x} = \mathbf{s}(\tau, F) + \mathbf{v}$, where $\mathbf{s}(\tau, F)$ - linear FM signal with delay τ and Doppler frequency shift F . Additive noise vector \mathbf{v} is a zero-mean Gaussian with diagonal correlation matrix R_v . The focus of this paper is on the τ estimation based on invariant to F version of \mathbf{x} . To obtain the latter we have to suppress Fisher information concerning Doppler shift. Consider $\mathbf{S}_\tau = E\{\mathbf{d}_\tau \mathbf{d}_\tau^H\}$ and $\mathbf{S}_F = E\{\mathbf{d}_F \mathbf{d}_F^H\}$, where $\mathbf{d}_\tau = \partial \ln p(x) / \partial \tau$, $\mathbf{d}_F = \partial \ln p(x) / \partial F$, the superscript H denotes complex conjugate matrix transpose. Matrices \mathbf{S}_τ and \mathbf{S}_F can be interpreted as the partial Fisher information matrices with respect τ and F correspondingly. In [2] the eigenvalues and the eigenvectors of an analogous matrix \mathbf{S} were used to concentrate Fisher information on diagonal elements [2]. Diagonal form of \mathbf{S}_F reveals actual dimension of subspace in initial signal space, which contain the most part of Fisher information about F . To provide invariant to F statistics one can obtain projection \mathbf{x} onto mentioned subspace and exclude it from \mathbf{x} . The same we can conclude concerning \mathbf{S}_τ . On the other hand, diagonal form of \mathbf{S}_τ reveals actual dimension of subspace containing Fisher information about τ . We have to keep this information because it is connected with accuracy of the τ estimator through CRB. To provide both intentions simultaneously let us bring into use auxiliary matrix $\mathbf{Q} = \mathbf{S}_\tau + \mathbf{S}_F$. We need linear transformation $C\mathbf{x}$ that provides diagonal form both \mathbf{Q} and \mathbf{S}_τ [3]: $C\mathbf{Q}C^T = \mathbf{I}$, $C\mathbf{S}_\tau C^T = \Lambda^{(1)}$, where \mathbf{I} is the identity matrix of order N , $\Lambda^{(\tau)}$ is the diagonal matrix containing ordered eigenvalues of \mathbf{S}_τ : $\lambda_1^{(\tau)} \geq \lambda_2^{(\tau)} \geq \dots \geq \lambda_N^{(\tau)}$. Note, that C provide diagonal \mathbf{S}_F too [3]:

$$\mathbf{I} = C(\mathbf{S}_\tau + \mathbf{S}_F)C^T = \Lambda^{(\tau)} + C\mathbf{S}_F C^T, \text{ or } C\mathbf{S}_F C^T = \mathbf{I} - \Lambda^{(\tau)}.$$

So we have $\lambda_k^{(F)} = 1 - \lambda_k^{(\tau)}$. It gives us the criterion to divide the original signal space into two orthogonal subspaces containing Fisher information about F and τ , respectively.

Linear FM signal was used as illustration [4]:

$$s(t) = w(t)E \cos((\omega_0 - 2\pi F)(t - \tau) + 2\pi\beta(t - \tau))$$

with complex amplitude $\dot{U}(t) = w(t)E e^{j[2\pi\beta(t-\tau)^2 + 2\pi F(t-\tau)]}$. Here $w(t)$ is a smooth window function, $\beta = 16$. Fig.1.a shows it's normalized delay-Doppler ambiguity function; the number of samples is fixed to $N=64$. Fig.2 displays original (a) and diagonal (б) forms of matrix \mathbf{S}_τ . Fig.3 illustrates diagonal forms of \mathbf{S}_τ , \mathbf{S}_F and equation $\lambda_k^{(F)} = 1 - \lambda_k^{(\tau)}$. At last Fig.1 (б) shows normalized delay-Doppler ambiguity function for invariant to F version of \mathbf{x} after Doppler frequency Fisher information excluding. From Fig.1 we can see that the ambiguity function of original signal is under $\approx 84^\circ$ to F axis, but the ambiguity function of invariant to F version of signal is strictly parallel to F axis. So, subspace decomposition through Fisher information is a means of decoupling τ and F estimators from one another.